

### ПЛАСТИЧЕСКОЕ СЖАТИЕ КОЛЬЦА ПЛОСКИМ ИНСТРУМЕНТОМ С УЧЕТОМ УПРОЧНЕНИЯ

(Московский государственный технический университет «СТАНКИН»)

Приведена приближенная модель пластического сжатия идеально пластического кольца плоским инструментом с однородным упрочнением материала в процессе сжатия, учитываемым по величине средней накопленной пластической деформации. Расчетная зависимость силы деформирования кольца от перемещения инструмента хорошо согласуется с экспериментальными данными при холодной деформации упрочняющегося металла.

Приближенная модель сжатия идеально пластического кольца плоским инструментом (рис. 1) основана на трех допущениях [2].

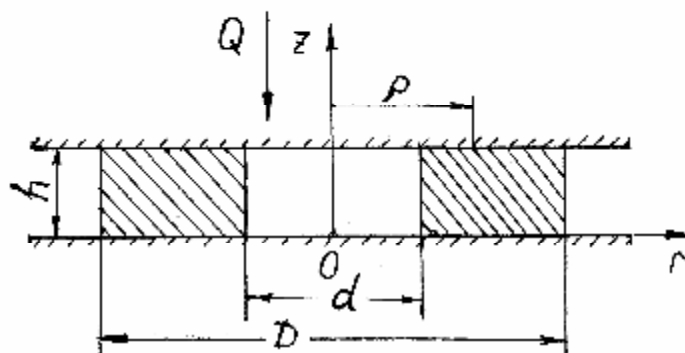


Рис. 1

(1) Рассматривается дифференциальное уравнение равновесия элемента равной толщине кольца  $h$ . (2) Радиальное нормальное напряжение усредняется по толщине  $h$ . (3). Вследствие изменения знака касательного напряжения на границах контакта с инструментом среднее касательное напряжение по толщине  $h$  принимается равным нулю, используется условие полной пластичности кольцевого элемента для нормальных напряжений [3; 4].

Эти допущения приводят к обыкновенному дифференциальному уравнению для изменения напряжений в радиальном направлении. Допущения приближенной модели пластического деформирования элемента конечной толщины широко используются на практике для моделирования многих технологических процессов и удовлетворительно согласуются с экспериментами [5; 1].

Ниже рассматриваются безразмерные напряжения, отнесенные к напряжению текучести материала кольца  $\sigma_s$ . На границах контакта кольца с инструментом задается коэффициент пластического трения  $\mu$ , представляющий безразмерное касательное напряжение, изменяющееся в пределах  $0 < \mu < 1/2$ .

В случае идеально гладкого инструмента ( $\mu = 0$ ) задача имеет простое точное решение – однородное напряженное состояние осевого сжатия с линейным изменением скоростей пластического течения при положительной радиальной скорости  $V_r$  во всей пластической области. В этом случае внутренний и наружный диаметры увеличиваются при сжатии кольца и определяются соотношением подобия  $D_0/d_0 = D/d$  между начальными  $D_0, d_0$  и текущими  $D, d$  значениями диаметров.

При наличии контактного трения ( $\mu > 0$ ) пластическая область разделяется радиусом  $\rho$  на внутреннюю зону, где  $V_r < 0$ , и на наружную зону, где  $V_r > 0$ . В этом случае в процессе сжатия кольца внутренний диаметр  $d$  уменьшается, а наружный диаметр  $D$  увеличивается. Дифференциальные уравнения равновесия кольцевого элемента толщиной  $h$  в цилиндрических координатах  $\{r, z, \theta\}$  и соответствующие условия полной пластичности для внутренней и наружной пластических зон с противоположными направлениями скорости  $V_r$  и контактного трения  $\mu$  имеют следующий вид:

$$\frac{ds_r}{dr} + \frac{s_r - s_\theta}{r} = -2 \frac{m}{h} \quad (1)$$

$$\sigma_r - \sigma_z = 1, \quad \sigma_z = \sigma_\theta \quad (2)$$

при  $d/2 \leq r \leq \rho, V_r < 0$  и

$$\frac{ds_r}{dr} + \frac{s_r - s_\theta}{r} = 2 \frac{m}{h} \quad (3)$$

$$\sigma_r - \sigma_z = 1, \quad \sigma_r = \sigma_\theta \quad (4)$$

при  $\rho \leq r \leq D/2, V_r > 0$ .

Из (1)–(4) следуют дифференциальные уравнения для давления на инструмент  $p = -\sigma_z$

$$\frac{dp}{dr} = 2 \frac{m}{h} + \frac{1}{r}, \quad d/2 \leq r \leq \rho, \quad (5)$$

$$\frac{dp}{dr} = -2 \frac{m}{h}, \quad \rho \leq r \leq D/2. \quad (6)$$

Интегрирование уравнений (5) и (6) с граничными условиями  $p = 1$  при  $r = d/2$  и  $r = D/2$ , приводит к распределениям давления на инструмент в виде

$$p = 1 + \ln \frac{2r}{d} + \frac{m}{h}(2r - d), \quad d/2 \leq r \leq \rho, \quad (7)$$

$$p = 1 + \frac{m}{h}(D - 2r), \quad \rho \leq r \leq D/2. \quad (8)$$

Из условия непрерывности давления при  $r = \rho$  из уравнений (7) и (8) получаем трансцендентное уравнение для границы раздела пластических зон  $\rho$

$$\ln \frac{2r}{d} + \frac{4m}{h} r = \frac{m}{h}(D + d). \quad (9)$$

Уравнение (9) при заданных значениях величин  $\mu$ ,  $D$ ,  $d$  и  $h$  удобно решать итерационным методом Ньютона.

После определения  $\rho$  из уравнения (9) находим среднее давление на инструмент  $q$  интегрированием распределений давления (7) и (8)

$$q = 1 + \frac{1}{R_1^2 - R_0^2} \left[ \frac{R_0^2 - r^2}{2} + r^2 \ln \frac{r}{R_0} + \frac{2m}{h} \left( \frac{1}{3} (R_1^3 + R_0^3 + 4r^3) - r^2 (R_1 + R_0) \right) \right], \quad (10)$$

где  $R_0 = d/2$  и  $R_1 = D/2$  – радиусы внутренней и наружной границ, которые в процессе сжатия кольца на величину  $dh$  определяются дифференциальными соотношениями, следующими из условия несжимаемости

$$\left. \begin{aligned} dR_0 &= \frac{1}{2} \frac{dh}{h} \frac{(r^2 - R_0^2)}{R_0} \\ dR_1 &= \frac{1}{2} \frac{dh}{h} \frac{(r^2 - R_1^2)}{R_1} \end{aligned} \right\} \quad (11)$$

Уравнения (9) и (11) показывают, что изменение диаметров кольца  $d$  и  $D$  определяется коэффициентом трения  $\mu$ , который можно оценить сравнением экспериментальных и расчетных значений диаметров при сжатии кольца для заданных условий эксперимента.

Размерная величина силы сжатия кольца  $Q$  в зависимости от толщины  $h$  определяется формулой

$$Q(h) = p(R_1^2 - R_0^2) \sigma_s(e_p) q(h), \quad (12)$$

где  $q(h)$  определяется уравнениями (9)–(11);  $\sigma_s(e_p)$  – заданная кривая упрочнения; накопленная средняя пластическая деформация  $e_p$  определяется интегралом [1]

$$e_p(h) = - \int_{h_0}^h q(h) \frac{dh}{h}. \quad (13)$$

Уравнение (12) можно использовать для определения экспериментальной кривой упрочнения при записи зависимости  $Q(h)$  на испытательной машине при сжатии кольцевого образца плоскими плитами с малым коэффициентом трения. Такое испытание позволяет получить кривую упрочнения для больших пластических деформаций, которую можно использовать для моделирования технологических процессов осадки кольцевых заготовок при холодной деформации.

На рис. 2 светлыми кружками показана экспериментальная кривая упрочнения алюминиевого сплава АД-31 при сжатии кольцевого образца с начальными размерами  $D_0 = 27$  мм,  $d_0 = 21$  мм и  $h_0 = 6.5$  мм до конечной толщины  $h = 2.9$  мм, полученная по приведенным уравнениям при  $\mu = 0.1$ . При этом конечные расчетные значения диаметров кольца  $d = 19.4$  мм и  $D = 31.2$  мм удовлетворительно согласуются с экспериментальными данными. Экспериментальная кривая упрочнения, показанная на рис. 2, имеет начальный участок, на котором происходит быстрое возрастание напряжения текучести, средний участок, на котором продолжается более медленное нелинейное упрочнение, и конечный участок при больших деформациях, на котором наблюдается почти линейное упрочнение с малым углом наклона касательной к кривой упрочнения материала.

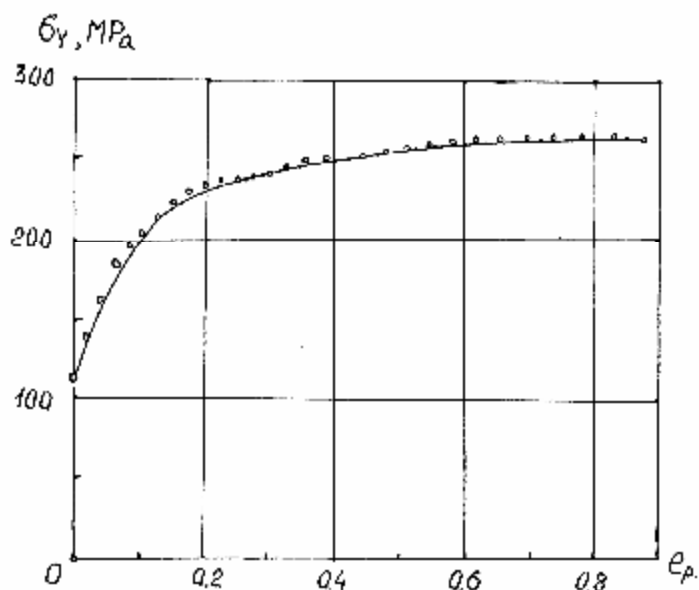


Рис. 2

Экспериментальная кривая упрочнения хорошо аппроксимируется квадратично-линейной зависимостью, показанной на рис. 2 сплошной кривой.

$$\left. \begin{aligned}
 \sigma_s &= \sigma_0 (1 + C_1 e_p + C_2 e_p^2), & 0 < e_p \leq e_p^* \\
 \sigma_s &= \sigma_0 (C_3 + C_4 e_p + C_5 e_p^2), & e_p^* \leq e_p \leq e_p^{**} \\
 \sigma_s &= \sigma_0 (C_6 + C_7 e_p), & e_p \geq e_p^{**}
 \end{aligned} \right\} (14)$$

с параметрами материала  $\sigma_0 = 358.6$  МПа,  $C_1 = 1.89$ ,  $C_2 = -1.33$ ,  $C_3 = 0.92$ ,  $C_4 = 2.13$ ,  $C_5 = -1.19$ ,  $C_6 = 1.61$ ,  $C_7 = 0.31$ ,  $e_p^* = 0.29$  и  $e_p^{**} = 0.83$ .

На рис. 3 светлыми кружками и сплошной кривой показаны экспериментальная и расчетная зависимости силы  $Q$  от перемещения  $s = h_0 - h$  инструмента при сжатии указанного выше образца из сплава АД-31. Расчетная зависимость получена из уравнения (12) при численном интегрировании уравнений (11) и (13) с использованием аппроксимации (14) кривой упрочнения. Вследствие точной аппроксимации экспериментальной кривой упрочнения расчетная и экспериментальная зависимости практически совпадают.

При сжатии кольца по схеме, показанной на рис. 1, конечные значения наружного и внутреннего диаметров зависят от контактного трения, которое на практике трудно регулировать с заданной точностью. Ниже рассмотрены две другие схемы сжатия кольца, в которых наружный или внутренний диаметры не зависят от контактного трения и определяются кинематическими ограничениями инструментом и условием несжимаемости материала кольца при пластической деформации.

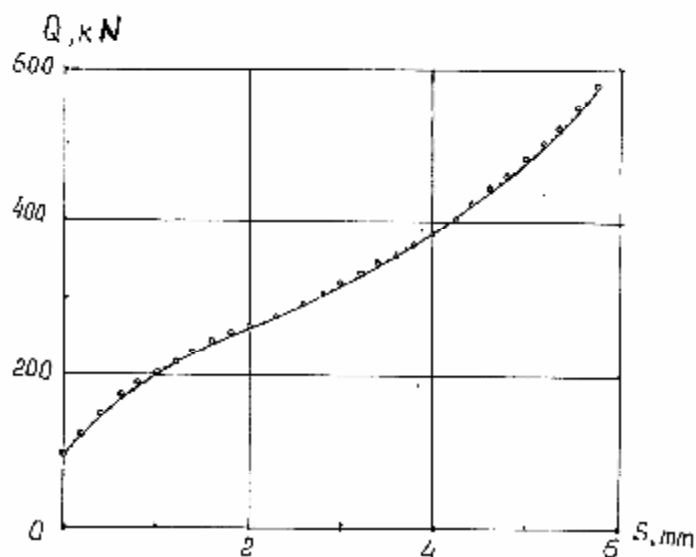


Рис. 3

На рис. 4 показана схема сжатия кольца плоским инструментом с кинематическим ограничением внутреннего диаметра  $d$  оправкой. В этом случае при наличии контактного трения диаметр  $d$  остается постоянным, равным диаметру оправки, а наружный диаметр  $D$  определяется условием несжимаемости в зависимости от  $h$

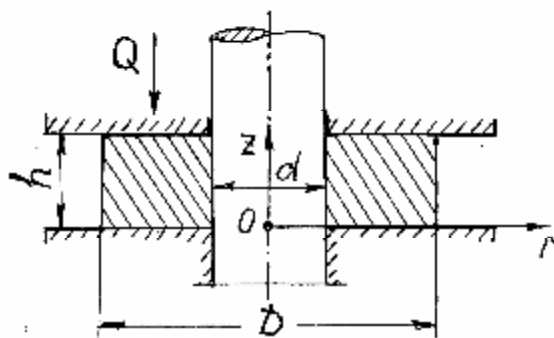


Рис. 4

$$D^2 = d^2 + \frac{h_0}{h} (D_0^2 - d^2), \quad d = \text{const.} \quad (15)$$

В этом процессе при  $\mu > 0$  и  $V_r > 0$  распределение давления на инструмент определяется формулой (8), и на границе контакта кольца с оправкой возникает радиальное давление на оправку  $p_m = -\sigma_r$ , которое определяется из первого соотношения (4) условия полной пластичности и из (8) при  $r = d/2$

$$p_m = \frac{m}{h} (D - d). \quad (16)$$

Интегрирование распределения давления (8) на границе контакта  $d/2 \leq r \leq D/2$  приводит к выражению для среднего давления  $q$  на плоский инструмент

$$q = 1 + \frac{m}{h} \left( D - \frac{2(D^3 - d^3)}{3(D^2 - d^2)} \right). \quad (17)$$

Зависимость силы сжатия кольца  $Q(h)$  определяется формулой (12) для заданной кривой упрочнения  $\sigma_s(e_p)$ , пластической деформацией  $e_p$ , определяемой интегралом (13), и зависимостью  $q(h)$ , определяемой соотношениями (15) и (17).

На рис. 5 показана схема сжатия кольца плоским инструментом с ограничением перемещения наружного диаметра  $D$  стенкой контейнера. В этом случае внутренний диаметр кольца  $d$  определяется условием несжимаемости

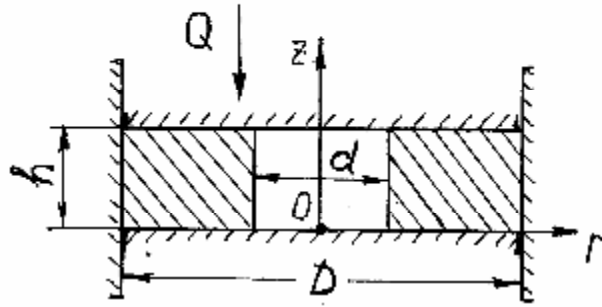


Рис. 5

$$d^2 = D^2 - \frac{h_0}{h} (D^2 - d_0^2), \quad D = \text{const.} \quad (18)$$

Пластическое течение направлено к оси  $z$ , и распределение давления на плоский инструмент определяется выражением (7). На стенку контейнера действует радиальное давление  $p_c = -\sigma_r$ , определяемое из первого соотношения (2) условия полной пластичности и из (7) при  $r = D/2$

$$p_c = \ln \frac{D}{d} + \frac{m}{h} (D - d). \quad (19)$$

Интегрирование распределения давления (7) по границе контакта кольца с плоским инструментом приводит к выражению для среднего давления  $q$  в виде

$$q = \frac{1}{2} + \frac{D^2}{D^2 - d^2} \ln \frac{D}{d} + \frac{m}{h} \left[ \frac{2(D^3 - d^3)}{3(D^2 - d^2)} - d \right]. \quad (20)$$

Зависимость силы сжатия кольца  $Q(h)$  определяется формулой (12) для заданной кривой упрочнения  $\sigma_s(e_p)$ , пластической деформацией  $e_p$ , определяемой интегралом (13), и зависимостью  $q(h)$ , определяемой соотношениями (18) и (20).

#### ЛИТЕРАТУРА

1. Гоффман, О. Введение в теорию пластичности для инженеров / О. Гоффман, Г. Закс. – М. : Машгиз, 1957. – 280 с.
2. Друянов, Б. А. Теория технологической пластичности / Б. А. Друянов, Р. И. Непершин. – М. : Машиностроение, 1990. – 272 с.
3. Ивлев, Д. Д. Теория идеальной пластичности / Д. Д. Ивлев. – М. : Наука, 1966. – 232 с.
4. Ишлинский, А. Ю. Математическая теория пластичности / А. Ю. Ишлинский, Д. Д. Ивлев. – М. : Физматлит, 2001. – 704 с.
5. Целиков, А. И. Основы теории прокатки / А. И. Целиков. – М. : Metallurgia, 1965. – 248 с.